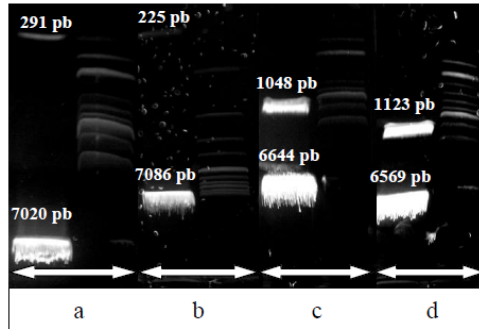
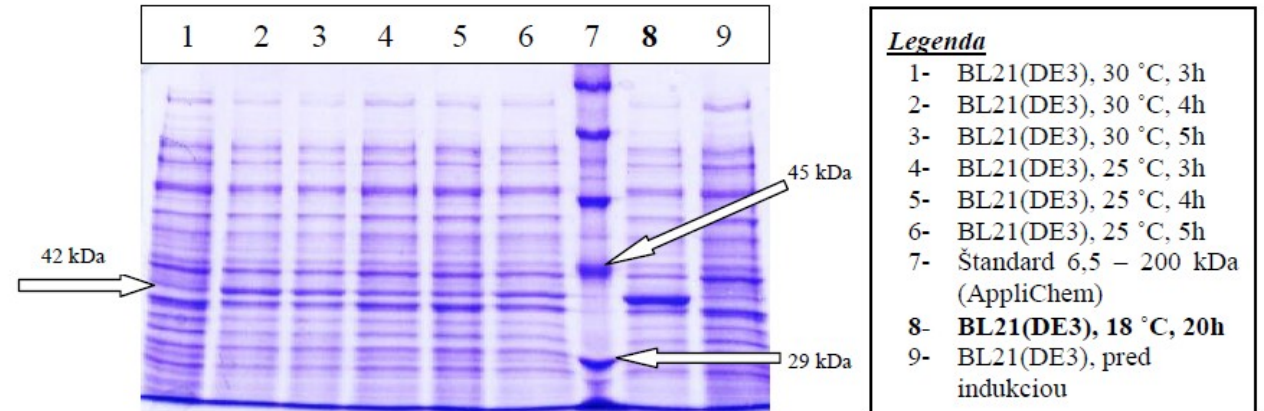


Je něco špatně?

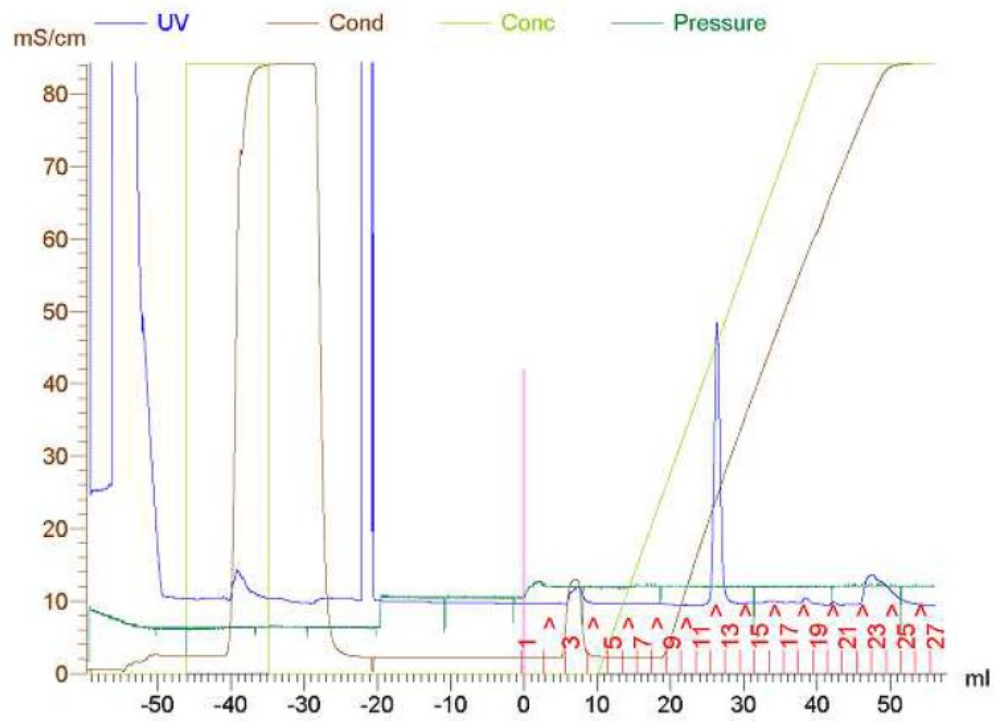


Obrázok č. 9: 1% agarózový gél: štiepenie cieľových plazmidov pomocou dvojice restriktáz:

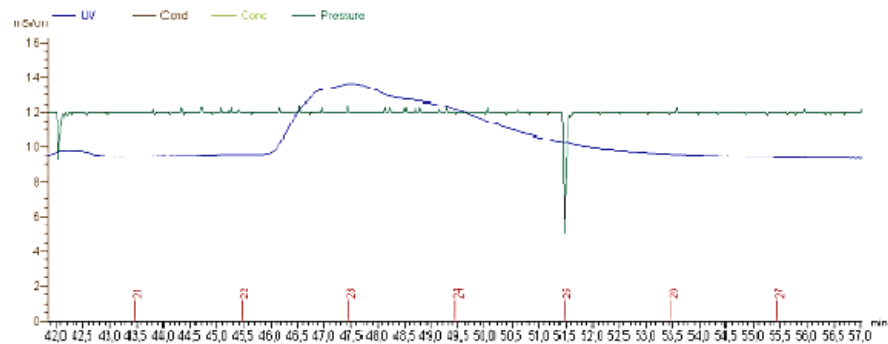
- pET-44b_N-6xHis_NusA*, štiepený RE: *SpeI*, *XhoI* (DNA štandard 100 – 1 517 pb (NEB))
- pET-44b_NusA_C-6xHis*, štiepený RE: *SpeI*, *HindIII* (DNA štandard 0,5 – 10 kb (NEB))
- pLEXSYS_IE_blecherry4* so sign. sekvenciou, štiepený RE: *XbaI*, *NotI* (DNA štandard 100 – 1 517 pb (NEB))
- pLEXSYS_IE_blecherry4* bez sign. sekvencie, štiepený RE: *NcoI*, *NotI* (DNA štandard 100 – 1 517 pb (NEB))



Obrázok č. 18: Optimalizácia produkcie proteínu PSL2 s tioredoxínom v bunkách *E. coli* BL21(DE3) (10% polyakrylamidový gél)

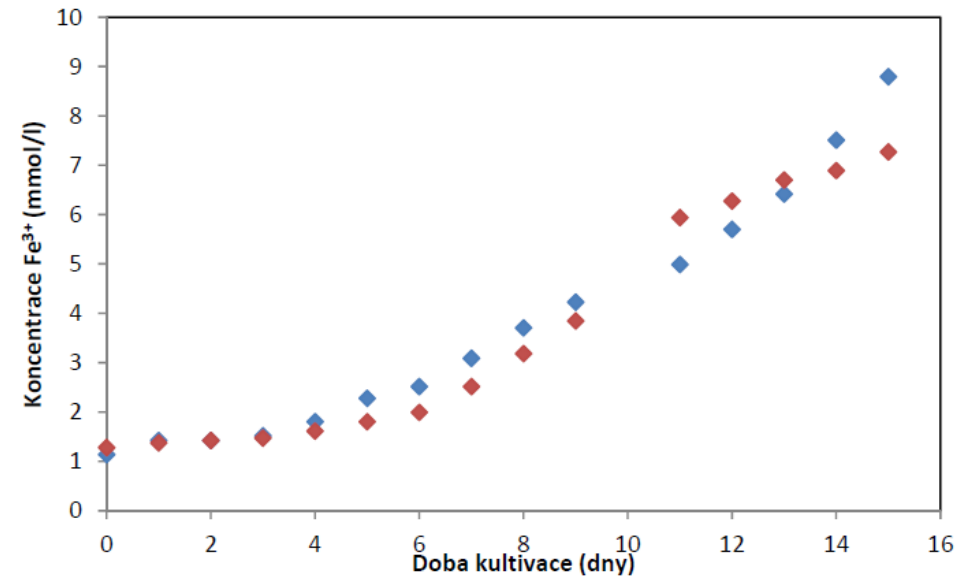


Obr. 7. Celkový průběh ionexové chromatografie. Modře je znázorněna absorbance v UV oblasti, hnědou je vyznačena vodivost roztoku, světle zelenou barvou je vyznačena koncentrace NaCl, tmavě zelenou tlak v systému. Červená čísla značí čísla frakcí.



Obr. 8. Úsek chromatogramu z obrázku 10. Eluované frakce s TDH aktivitou (22-25).

Je něco špatně?



Obr. 10. Oxidace Fe³⁺ iontů v průběhu kultivací A (♦) a B (♦) bakterie *At. ferrooxidans* na pyritu.

Je něco špatně?

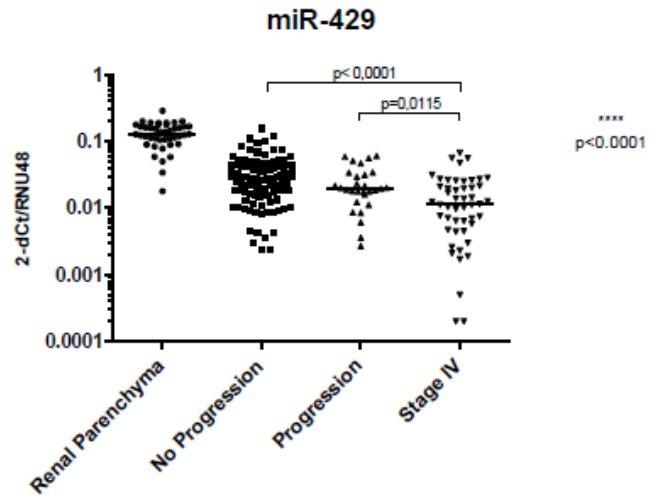


Figure 12: Expression of miR-429 in renal parenchyma and ccRCC samples. RCC samples were divided into three subgroups (no progression, progression, stage IV).

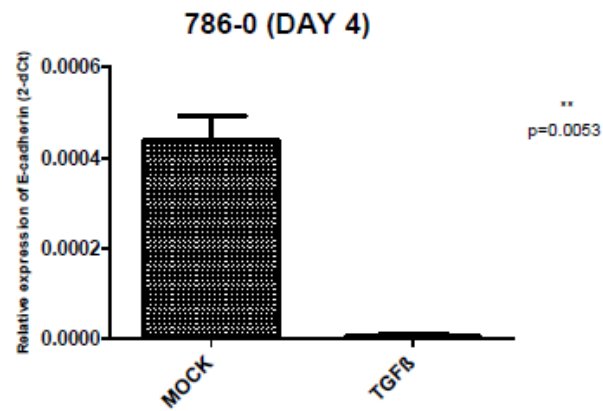


Figure 22: E-cadherin expression in 786-0 cells treated with TGFβ vs. MOCK. Day 4.

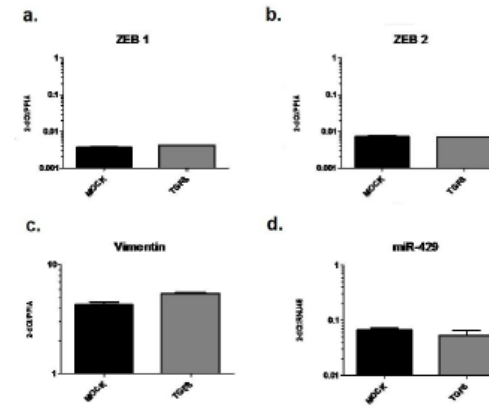


Figure 23: Expression of EMT-related genes and miR-429 in 786-0 cell line treated with TGFβ and 786-0 control cells (a. ZEB1, b. ZEB2, c. Vimentin, d. miR-429).

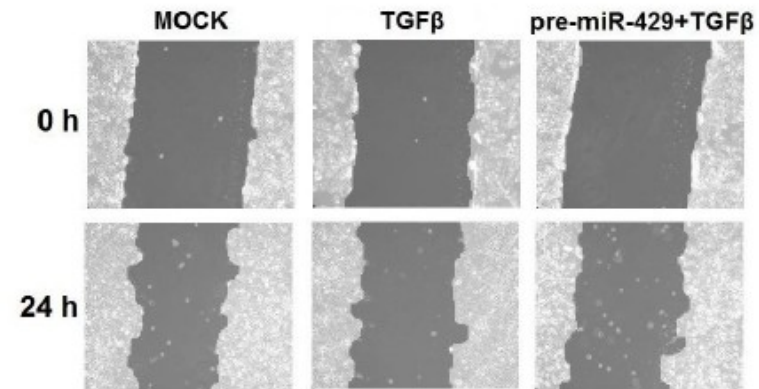


Figure 37: Images of ACHN cells transfected with negative control #1 (MOCK), cells treated with TGFβ and cells transfected with pre-miR-429 + treated with TGFβ. 0h vs. 24h.